

The Ratio of the  ${}^6\text{Li}(n,\alpha)$  to  ${}^{10}\text{B}(n,\alpha)$  Cross Section  
from 10eV to 80keV and Recommended  
Values of the  ${}^{10}\text{B}(n,\alpha)$  Cross Section

M.G.Sowerby, B.H.Patrick, C.A.Uttley

and K.M.Diment

(AERE-R6316)

五十嵐 信一 (原研)

$\sigma_{n,\alpha}({}^6\text{Li})/\sigma_{n,\alpha}({}^{10}\text{B})$  を 10 eV ~ 80 keV にわたつて出来るだけ正確に測定し,  
 $\sigma_{n,\alpha}({}^6\text{Li})$  を既知として  $\sigma_{n,\alpha}({}^{10}\text{B})$  の値を求めるのがこの論文の骨子である。 $\sigma_{n,\alpha}$   
( ${}^6\text{Li}$ )も  $\sigma_{n,\alpha}({}^{10}\text{B})$  も neutron flux の detector として良く知られているが。  
 ${}^{239}\text{Pu}$  の  $\eta$ ,  $\alpha$ ,  $\sigma$  を測つた Patrick et al. の実験の際に, この二つの detector  
で測つた neutron flux の結果が high energy 側で 嘘違つた。Patrick と  
Sowerby は当時の実験に参加していたので, この 嘘違いを検討しておく必要性を感じていたと  
思われる。

実験は 45MeV Harwell Linear Accelerator time-of-flight  
spectrometer を使つて行われた。測定は neutron energy を 10eV ~ 2keV  
(low energy experiment) と 50eV ~ 80keV (high energy  
experiment) の二領域に分けて行われ, それぞれの領域で Li glass scintillator  
-  ${}^{10}\text{BF}_3$  counter, Li glass scintillator-Boron plug detector

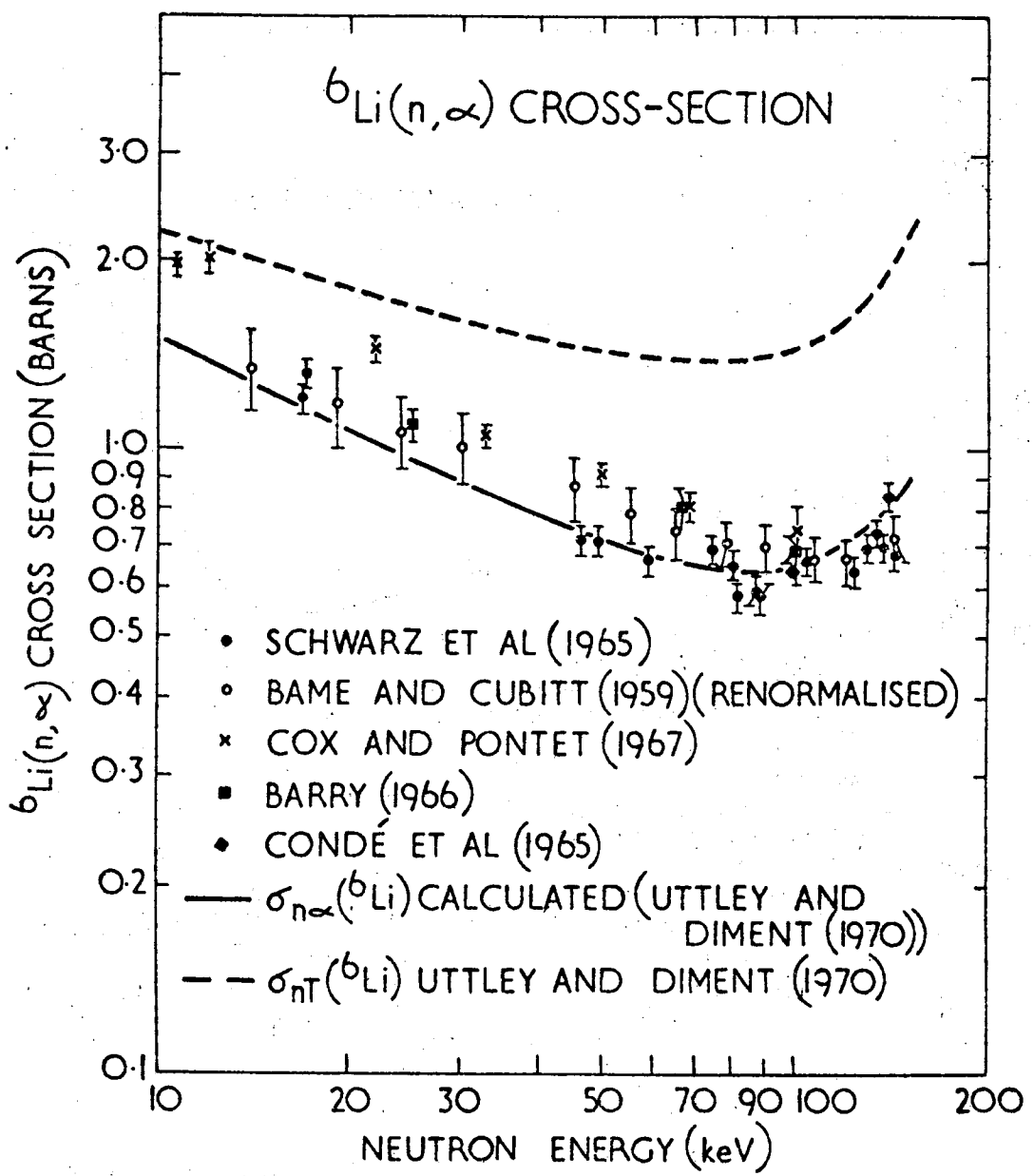
を使って neutron spectrum を測つた。この測定で求めた  $\sigma_{n,\alpha}(^6\text{Li})/\sigma_{n,\alpha}(^{10}\text{B})$  は 10 eV ~ 20 eV の領域で 0.245 に normalize された。この値は Diment 及び Diment & Uttley が <sup>6</sup>Li と <sup>10</sup>B の absorption cross section に与えた energy dependence から求めたものである。この absorption cross section は 2200 m/sec 値が Spaepen の review に出ている値と一致しているので信頼して良いものと考えられる。こうして決めた low energy experiment の結果に high energy experiment の結果を 1 keV 附近で normalize し、 10 eV ~ 80 keV の領域にわたつて  $\sigma_{n,\alpha}(^6\text{Li})/\sigma_{n,\alpha}(^{10}\text{B})$  の energy dependence を求めた。測定誤差は 1.5 ~ 3.5 % である。この結果を Bergman & Shapiro の測定結果 (8 eV ~ 25 keV) と比べると 3 keV 以下で良く合つている。

こうして求めた cross section の比から cross section を求めるにはどちらかの cross section を primary standard にする必要がある。こゝでは  $\sigma_{n,\alpha}(^6\text{Li})$  を primary standard に取つた。その理由は ( $n, \alpha$ ) と競争するのは ( $n, \gamma$ ) だけであつて, <sup>10</sup>B の場合の ( $n, p$ ), ( $n, \gamma$ ), ( $n, t$ ) と比べて簡単である。又, resonance の数が neutron binding energy 附近に少く、傾向がおだやかである。しかし現状では  $\sigma_{n,\alpha}(^{10}\text{B})$  の方が  $\sigma_{n,\alpha}(^6\text{Li})$  よりも測定値間の合い方は良い。この点については若干議論があるのでなかろうかと思うが、この論文では primary standard として傾向がおだやかで、精度を期待出来る <sup>6</sup>Li の方を取つた。 $\sigma_{n,\alpha}(^6\text{Li})$  は Uttley & Diment の  $\sigma_{\text{tot}}(^6\text{Li})$  の測定値から  $\sigma_{\text{sc}}(^6\text{Li})$  の計算値を引いたもので、これと  $\sigma_{n,\alpha}(^6\text{Li})$  の他の測定値とを比較してみると最も良い結果になつてゐる。しかも Uttley & Diment の結果は  $1/\sqrt{E}$  region にうまくつながつてゐるので、 $\sigma_{\text{tot}}$  に合せるやり方には信頼出来るものがある。

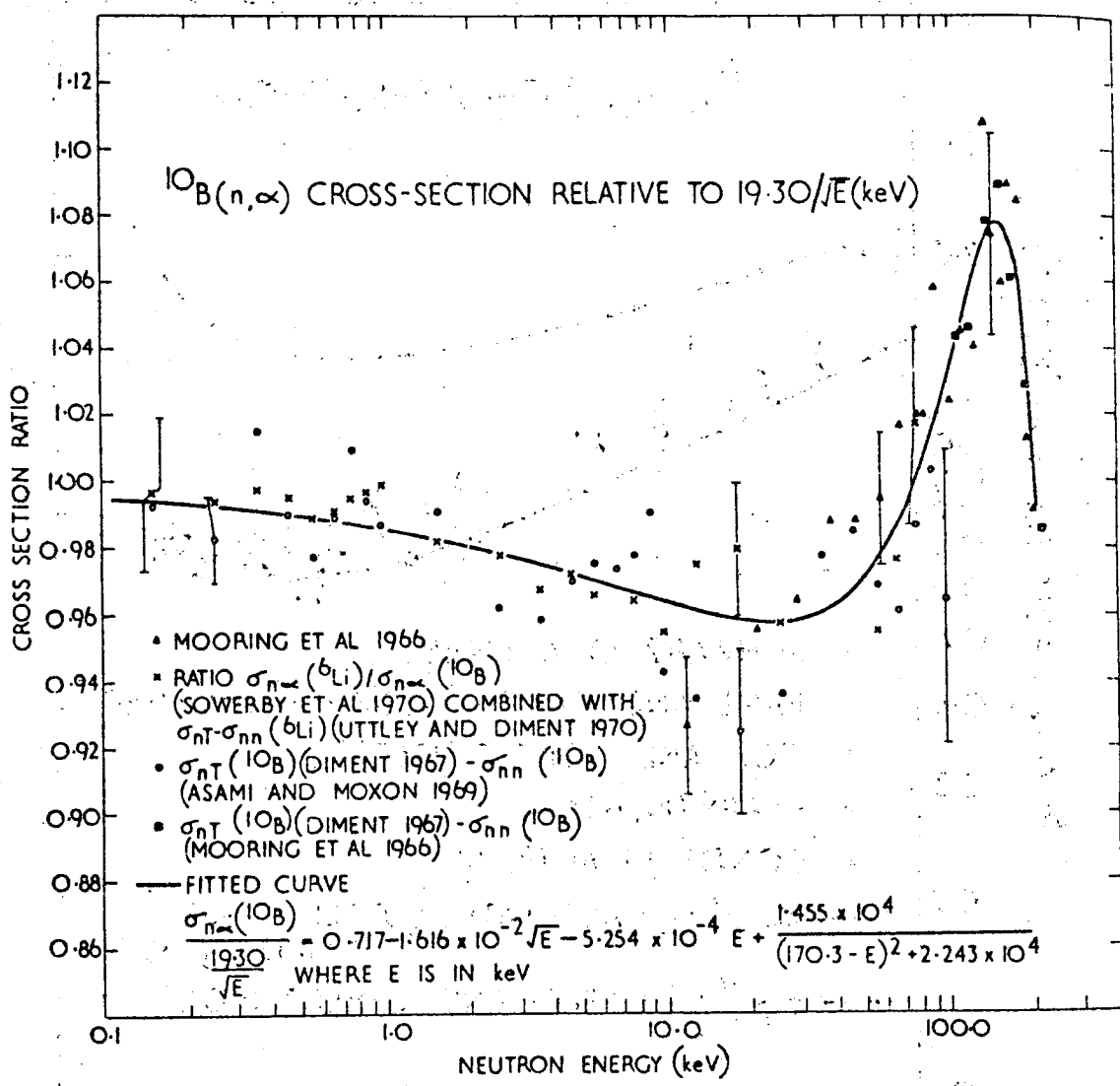
$\sigma_{n,\alpha}(^{10}\text{B})$  を決めるには、測定値を適当な energy interval で平均をし、  $1/\sqrt{E}$  からのずれをみるために  $19.30/\sqrt{E}$  で割つたものの傾向を調べた。Shapiro は thermal energy から 1st resonance の附近までの  $\sigma_{n,\alpha}(^6\text{Li})$  と  $\sigma_{n,\alpha}(^{10}\text{B})$  に

$$\sigma_{n,\alpha} = A/\sqrt{E} + \Delta\sigma + \beta\sqrt{E} + \gamma E^{3/2} + \dots$$

を与えたが、こゝでは更に 150 keV 附近の S-wave resonance の項を加えて parameter fitting を行つた。こゝで  $\beta$  の意味は、正ならば low energy cross section に影響を与える level が neutron binding energy より上にあり、負なら下にあることになる。さて、求めた結果は



AERE - R 6316 Fig. 3  
The  ${}^6\text{Li}(n,\alpha)$  cross-section from 10 to 150 keV.



AERE - R 6316 Fig. 4  
The  $^{10}\text{B}(n,\alpha)$  cross-section relative to  $19.30/\sqrt{E}$ (keV) from 100 eV to 200 keV.

$$\sigma_{n,\alpha}({}^{10}\text{B}) = \frac{13.837}{\sqrt{E}} - 0.312 - 1.014 \times 10^{-2} \sqrt{E} + \frac{2.809 \times 10^5}{\sqrt{E} [(170.3 - E)^2 + 2.243 \times 10^4]}$$

( barns )

である。但し  $E$  は keV 単位で取つてある。この結果は S-wave resonance として fitting を行つたが, p-wave とすれば別の結果となつて, しかも fitting は同じ程度のものが得られる。即ち, この式は unique solution ではないから parameter の解釈には十分注意する必要がある。しかし実用の面から見ると, この式は 1 keV までは 1%, 10 keV で 2%, 100 keV で 3%, 200 keV で 5% の精度を持つている。